

15/28-IB-FN-9601.- Bancos de grauwacas al W. del Estrecho de la Peña (vendiense).



15/28-IB-FN-9602.- Charnela de pliegue anticlinal - en grauwacas del vendiense. (Aº Jariqüela). Dir. eje. N-S. Flanco Este: N 150°, 50°E, Flanco Oeste N 10°, 50°W.



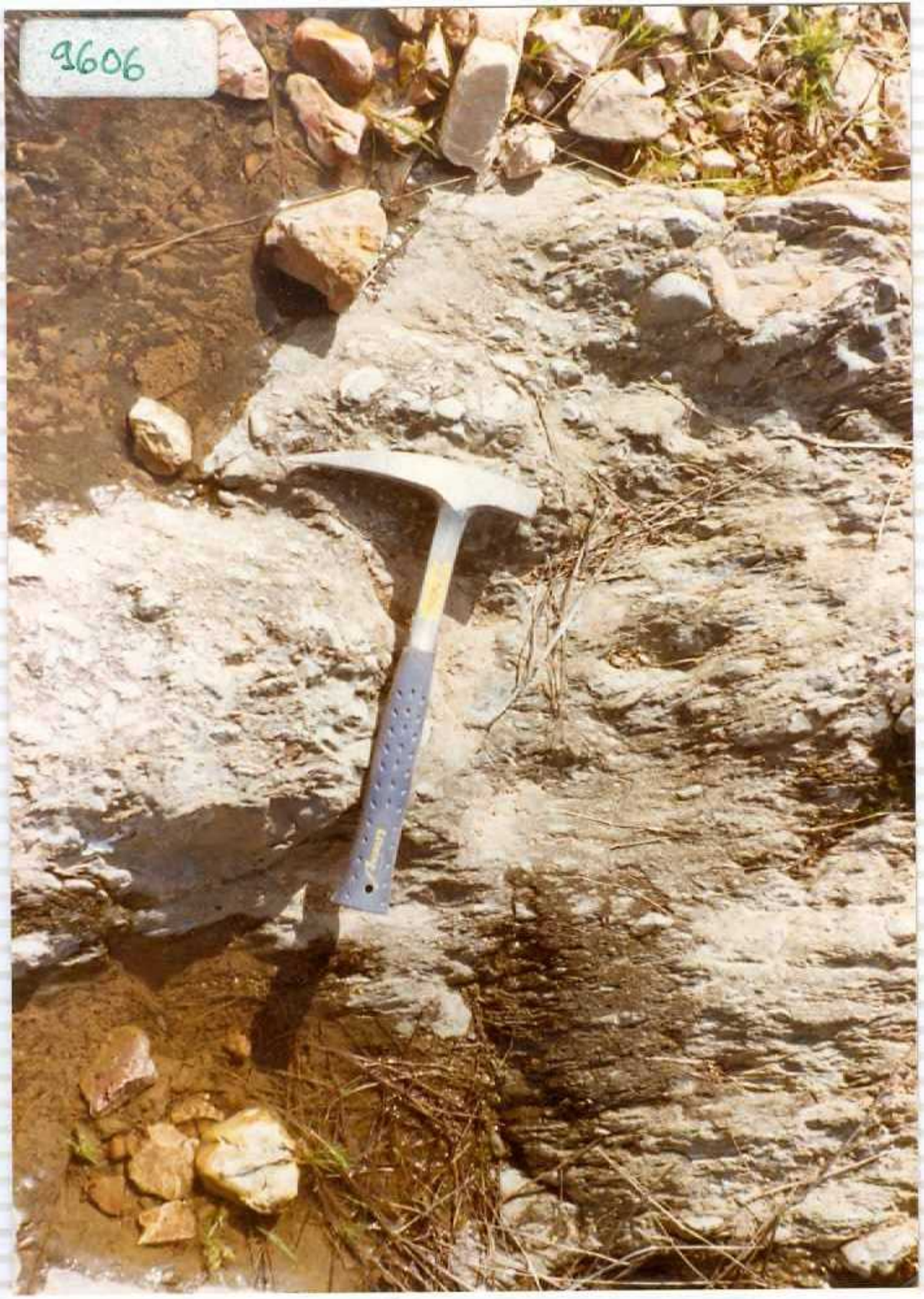
15/28-IB-FN-9603.- Conglomerados del Vendiense (Estrecho de la Peña)(4 bis).



15/28-IB-FN-9604.- Bancos de calizas y calcoesquistos intercalados. Vendiense (3).



15/28-IB-FN-9605.- Pizarras y grauwacas del Vendiense. Obsérvese la refracción de la esquistosidad según la litología, mucho más penetrativa en las primeras.



15/28-IB-FN-9606.- Lutitas con cantos (5). Aº de Puerto Rey; Vendiense.



15/28-IB-FN-9607.- Lutitas con cantos (5). Pantano - de Cíjara; dentro de todo el conjunto todavía se conservan capas de grauwaca casi intactas (slump-brecha?).



15/28-IB-FN-9608.- Lutitas con cantos (5), Pantano de Cíjara; junto a los cantos de grauwaca aparecen otros de cuarzo y lidita.



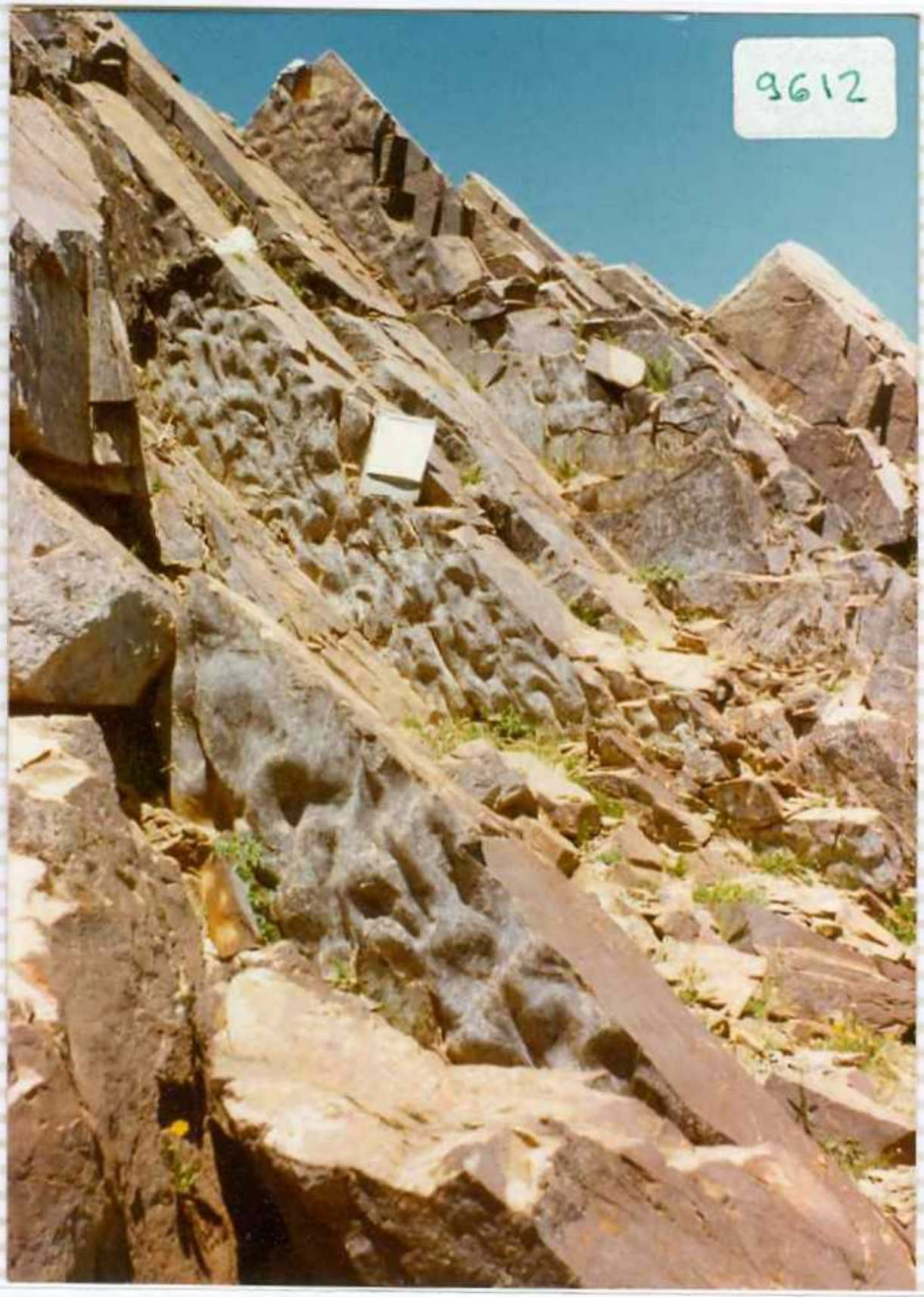
15/28-IB-FN-9609.- Lutitas con cantos (5), Pantano de Cíjara.



15/28-IB-FN-9610.- Lutitas con cantos (5), Isla de los Viaductos, junto a los conglomerados de la base del - Ordovícico.

15/28-IB-FN-9611.- Conglomerado de cantos de grauwaca (4) Vendiense

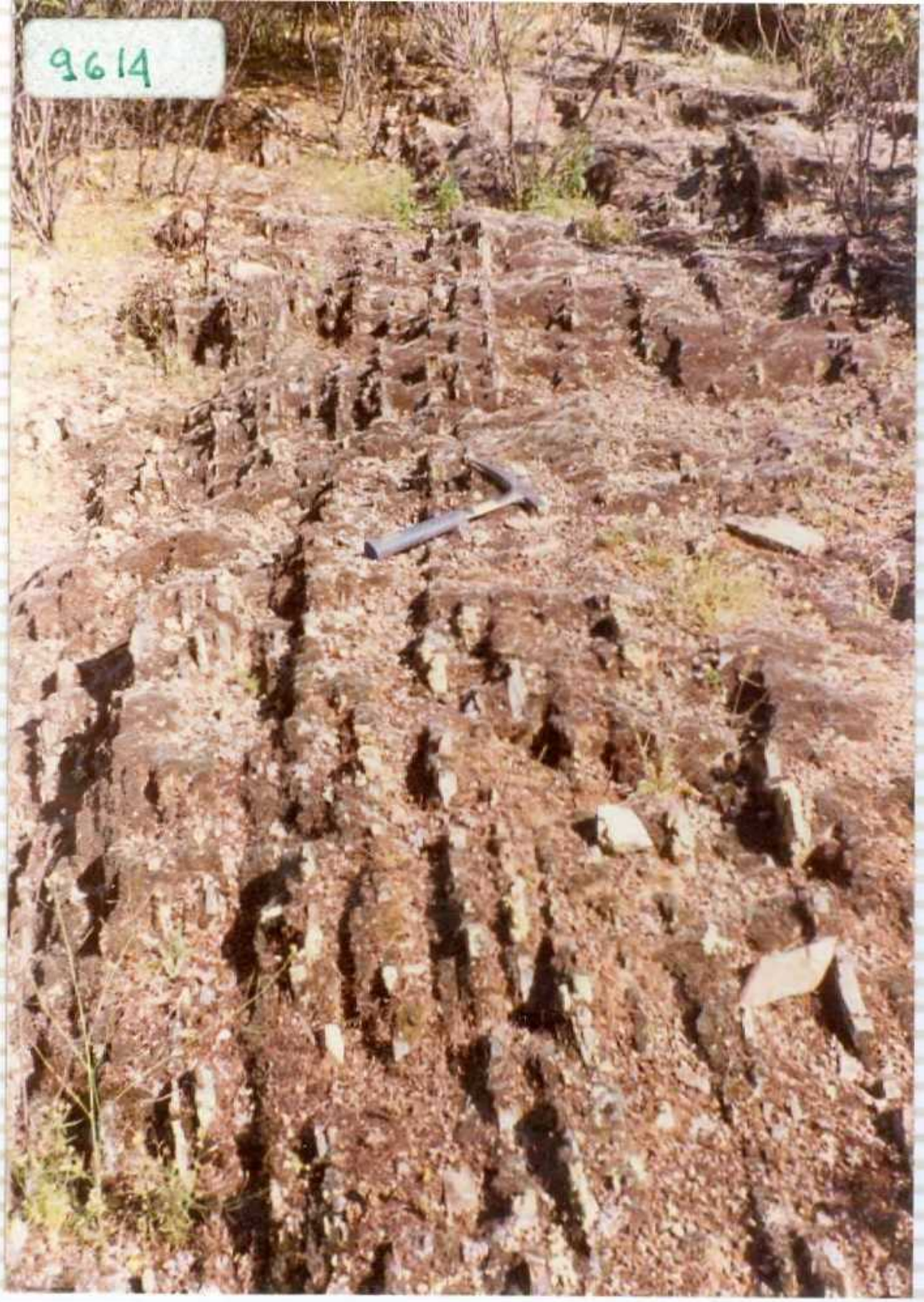




15/28-IB-FN-9612.- Ripples linguoides de varios tipos en estratos de areniscas grauwáquicas (2) del Vendiense. Serie invertida ligeramente.



15/28-IB-FN-9613.- Estructura slump dentro de una capa de limolitas (2) Vendienses.



15/28-IB-FN-9614.- Aspecto superficial de alternancias rítmicas centimétricas de pizarras y areniscas grauwaquicas, conjunto superior (2). Vendiense.



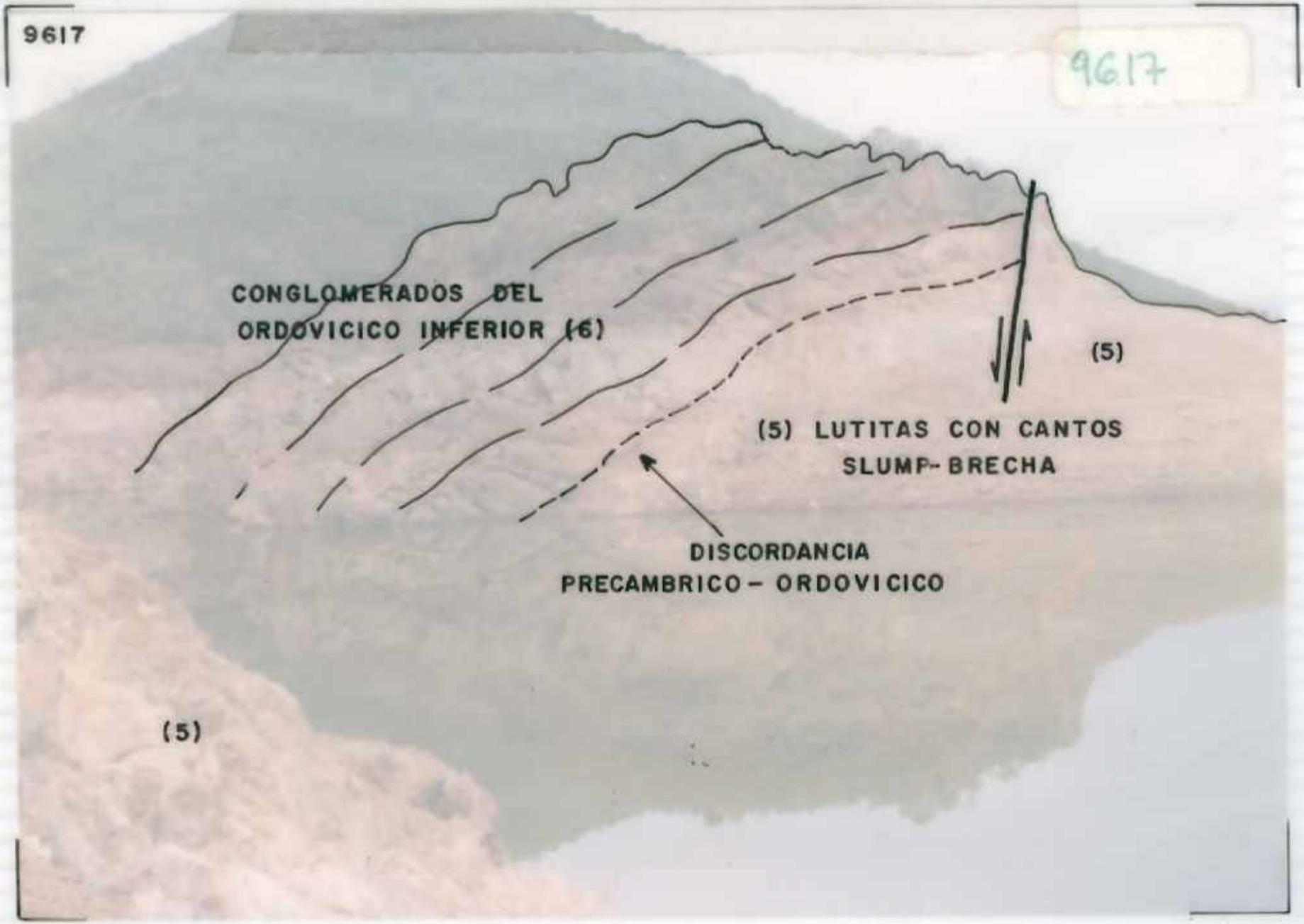
15/28-IB-FN-9615.- Serie rítmica alternante de pizarras y areniscas grauwaquicas, conjunto inferior (2) Vendiense.



15/28-IB-FN-9616.- Conglomerado de cantos de cuarzo (4). Vendiense.



15/28-IB-FN-9617.- Conglomerados y areniscas del Ordovícico inferior (6), discordantes sobre la formación "lutitas con cantos" (5) del Vendiense.



15/28-1B-FN-9617.- Conglomerados y areniscas del Ordovícico inferior (6), discordantes sobre la formación "lutitas con cantos" (5) del Vendiense.



15/28-IB-FN-9618.- Detalle de la discordancia, el vendiense muy caótico(¿"slump-brecha"?)(5)'



15/28-IB-FN-9619.- Conglomerado basal de matriz lutítica verdosa, ordovícico inferior (6).



15/28-IB-FN-9620.- Conglomerado del Ordovícico inferior (6) (serie púrpura).

9621

15/28-IB-FN-9621.- Idem que 9620, pero con intercalaciones limolíticas de color claro.





15/28-IB-FN-9622.- Aspecto general de los conglomerados, ordovícico inferior (6).



15/28-IB-FN-9623.- Areniscas cuarcíticas bioturbadas, Ordovícico inferior (6).



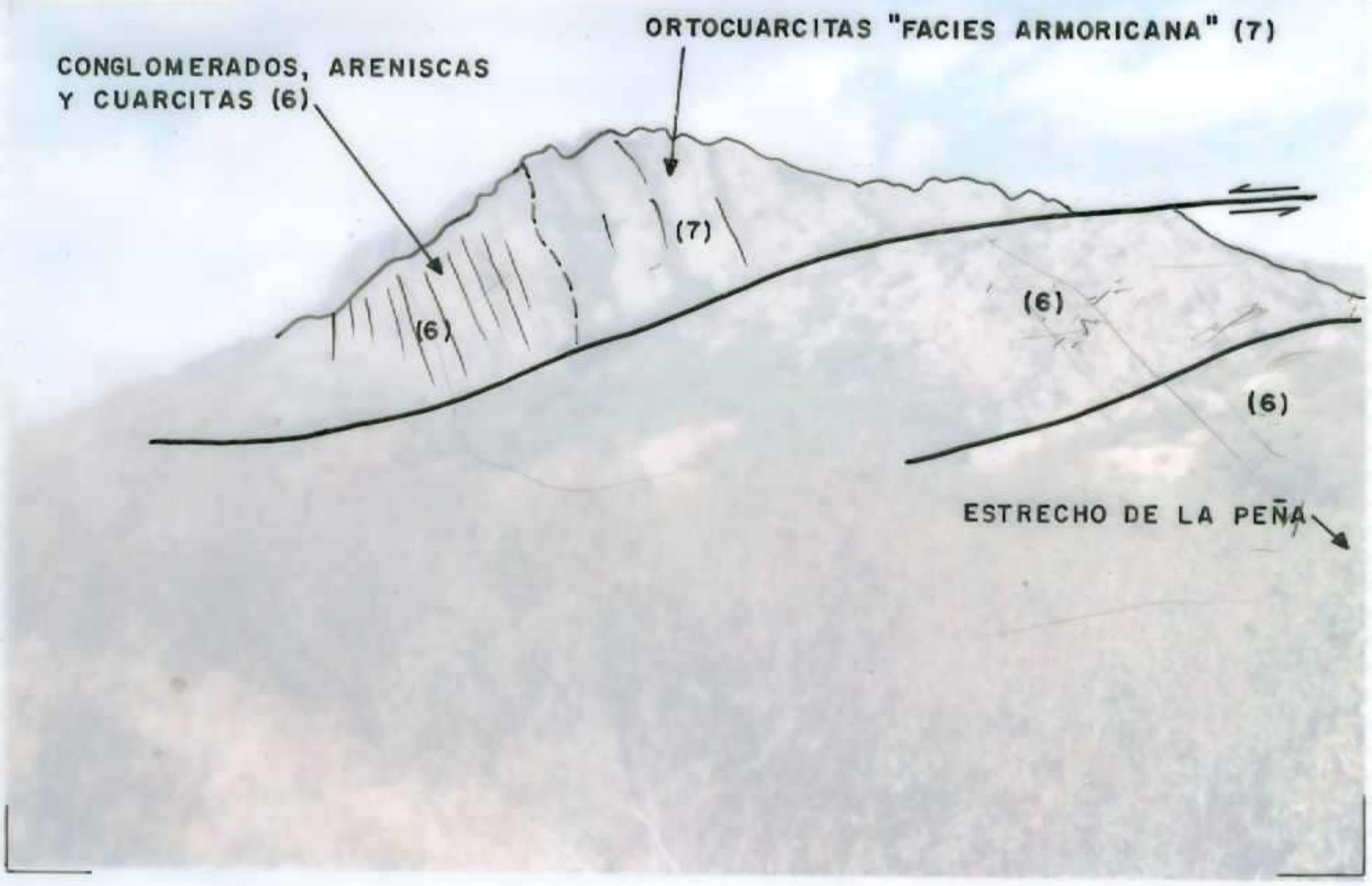
15/28-IB-FN-9624.- Laminación cruzada en ripples de escala métrica; areniscas cuarcíticas del Ordovícico inferior (6).



15/28-IB-FN-9625.- Aspecto de la Cresta cuarcítica del Ordovícico inferior; flanco Oeste del sinclinal de -- Guadarranque, formaciones (6) y (7).

9625

9625



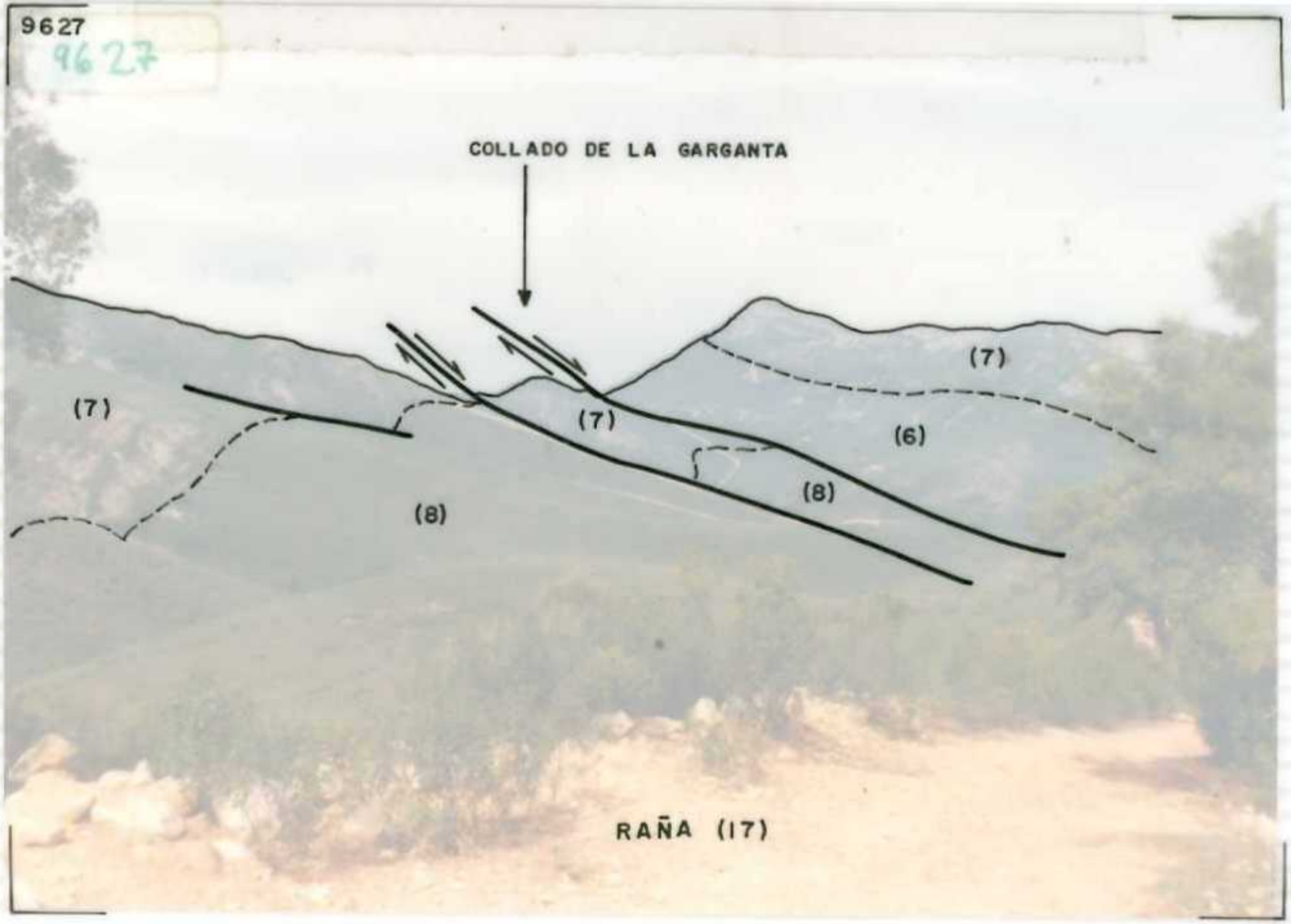
Ordovícico inferior; flanco Oeste del sinclinal de -- Guadarranque, formaciones (6) y (7).



15/28-IB-FN-9626.- Cuarcitas y pizarras del ordovícico inferior (6) con crucianas de gran tamaño (serie - púrpura).



15/28-IB-FN-9627.- Desplazamiento de la cresta cuarcítica del Ordovícico inferior, flanco Oeste del sinclinal de Guadarranque por efecto de fracturas de desgarre (Aº de la Garganta).



15/28-IB-FN-9627.- Desplazamiento de la cresta cuarcítica del Ordovícico inferior, flanco Oeste del sinclinal de Guadarranque por efecto de fracturas de desgarre (Aº de la Garganta).



15/28-IB-FN-9628.- Alternancias de pizarras y areniscas pardas (10) en el ordovícico Medio. Llandeilo.



15/28-IB-FN-9629.- Cuarcitas y pizarras alternantes en serie invertida (8).



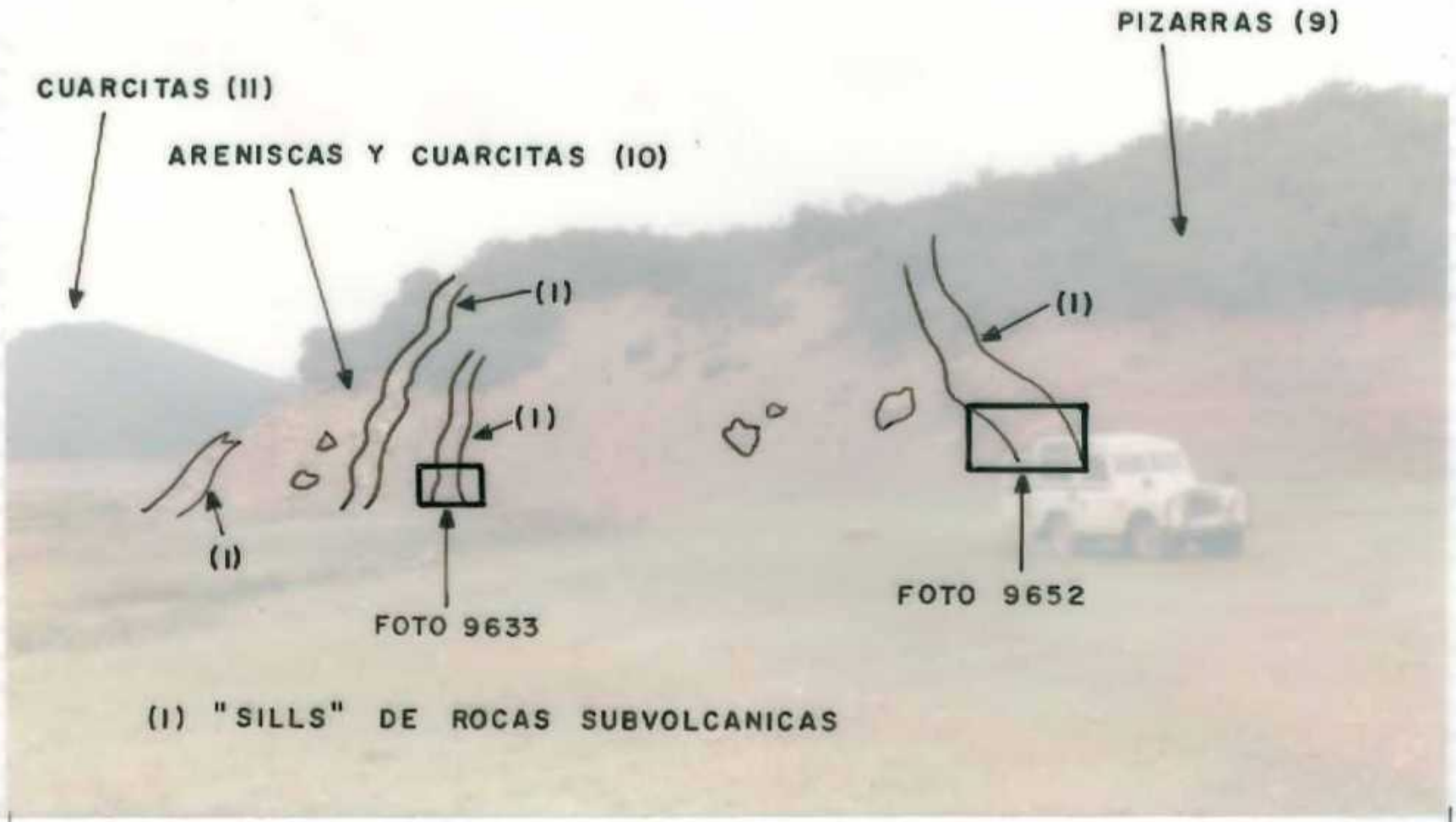
15/28-IB-FN-9630.- Huella de cruciana (Repichnia) en el techo de una capa de cuarcita del ordovícico inferior-medio. (8).

9631



15/28-IB-FN-9631.- Aspecto de los "sills" sub-volcánicos intrusivos concordantes (1) intercalados dentro de las pizarras del Ordovícico Medio (9).

9631



15/28-IB-FN-9631.- Aspecto de los "sills" sub-volcánicos intrusivos concordantes (1) intercalados dentro de las pizarras del Ordovícico Medio (9).

15/28-IB-FN-9632.- Detalle del "sill" más potente -- (1,60m.) hacia el techo se observa mayor concentra-- ción de burbujas de desgasificación.





15/28-IB-FN-9633.- Aspecto de otro dique subvolcánico, donde se pueden observar los grandes fenocristales que presenta, potencia (0,70m.).

9634



15/28-IB-FN-9634.- Barras cuarcíticas del Ordovícico Superior, Caradociense (11); una de ellas desplazada por fractura.

9634

9634



15/28-IB-FN-9634.- Barras cuarcíticas del Ordovícico Superior, Caradociense (11), una de ellas desplazada por fractura.



15/28-IB-FN-9635.- Muro de la primera barra cuarcíti
ca del Caradociense (11) en donde aparecen areniscas
con laminaciones de ripples de gran longitud (1-1,5m.)
e intercalaciones más pizarrosas.



15/28-IB-FN-9636.- Detalle de las laminaciones del conjunto anterior (Large-scale wavy lamination).

nterior (Large-scale wavy



15/28-IB-FN-9637.- Aspecto de la formación pizarrosa del Ordovícico Superior (12), hacia el muro aparecen pequeñas intercalaciones de areniscas.

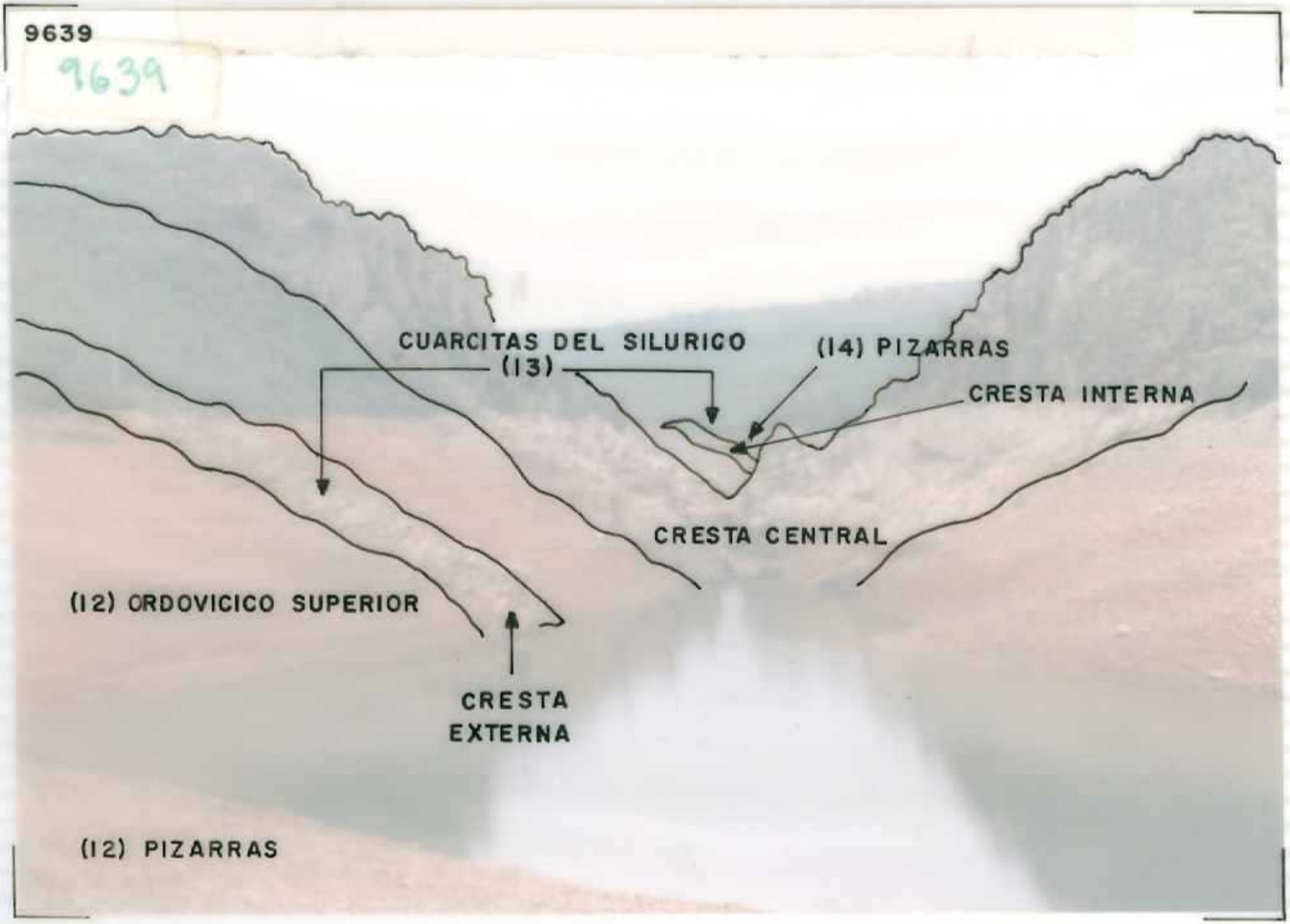
- Aspecto de
lor (12), hac
es de arenis



15/28-IB-FN-9638.- Disyunción en "bolas" y"capas concén
tricas" de las denominadas "Pelitas con fragmentos" (12).



15/28-IB-FN-9639.- Crestas y resaltes cuarcíticos del silúrico inferior (13).



1S/28-IB-PN-9639.- Crestas y resaltes cuarcíticos del silúrico inferior (13).



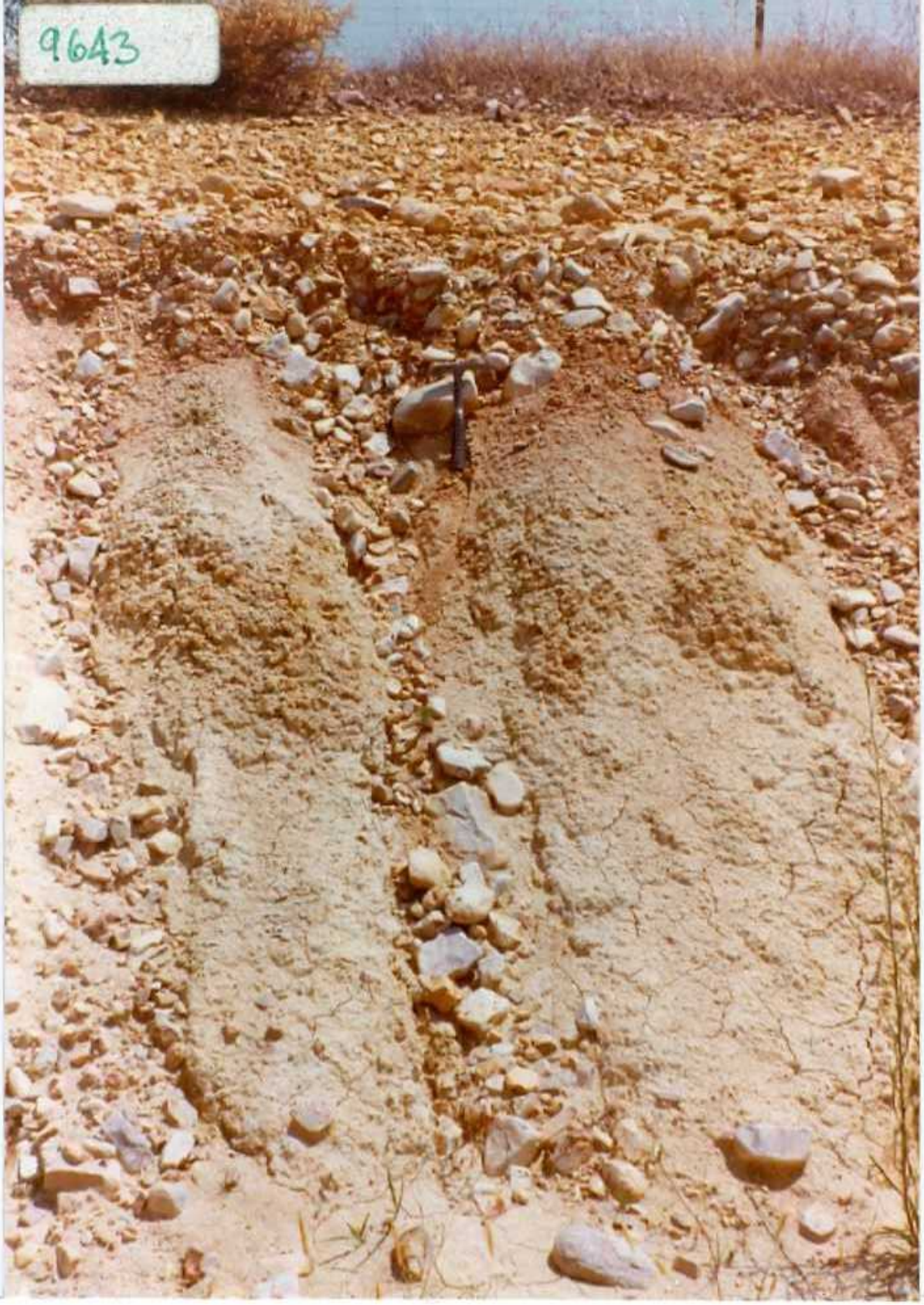
15/28-IB-FN-9640.- Pliegue sobre las cuarcitas (13) en el crestón que forma el flanco Norte del sinclinal.



15/28-IB-FN-9641.- Cierre periclinal sinclinal de las cuarcitas silúricas (13) en el sinclinal de Helechosa.



15/28-IB-FN-9642.- Arcillas y margas verdes del Mioceno (15), sobre ellas, conglomerado (rañizo) del glacis-terraza superior (18).



15/28-IB-FN-9643.- Detalle del contacto de las dos formaciones anteriores.



15/28-IB-FN-9644.- Conglomerado cementado en el contacto entre las formaciones (16) y (17), terciario detrítico y "Rañas".



15/28-IB-FN-9645.- Aspecto de la formación terciaria (16). Arcillas arenosas de color ocre y niveles conglomeráticos intercalados.



15/28-IB-FN-9646.- Detalle del nivel conglomerático de la foto anterior. Los cantos están perfectamente lavados y sin pátina.



15/28-IB-FN-9647.- Calizas nodulosas Terciarias (15).



15/28-IB-FN-9648.- Aspecto de la superficie del glacis de acumulación de "raña" (17) con el típico "garbancillo", pequeños cantos de areniscas muy ferruginizados.

9649



15/28-IB-CN- 9649.- Vista general del sinclinal del - Guadarranque hacia el NW. Las alineaciones de cumbres corresponden a las distintas formaciones cuarcíticas que aparecen en la serie. Cuarcitas facies armoricana (7), cuarcitas y areniscas pardas del ordovícico superior (11) y cuarcitas (13) del silúrico inferior.

9649

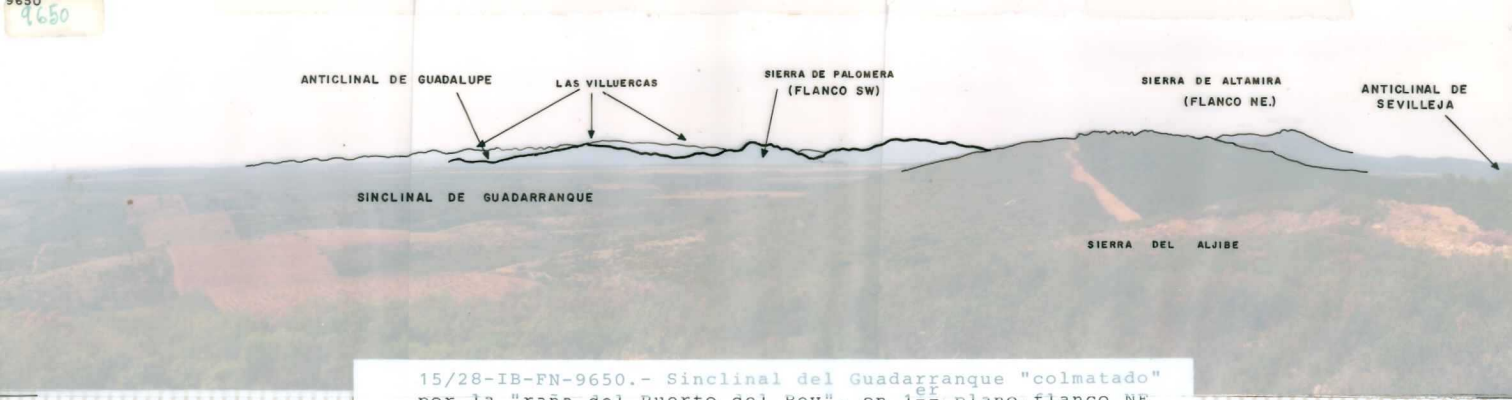


15/28-IB-CN- 9649.- Vista general del sinclinal del - Guadarranque hacia el NW. Las alineaciones de cumbres corresponden a las distintas formaciones cuarcíticas que aparecen en la serie. Cuarcitas facies armoricana (7), cuarcitas y areniscas pardas del ordovícico superior (11) y cuarcitas (13) del silúrico inferior



15/28-IB-FN-9650.- Sinclinal del Guadarranque "colmatado" por la "raña del Puerto del Rey", en 1er plano, flanco NE (Sierra de Altamira), en 2º Plano, flanco SW (Sierra

9650



15/28-IB-FN-9650.- Sinclinal del Guadarranque "colmatado" por la "raña del Puerto del Rey", en 1er plano, flanco NE (Sierra de Altamira), en 2º Plano, flanco SW. (Sierra de la Palomera), al fondo las sierras de las Villuercas.



15/28-IB-FN-9651.- Vista del sinclinal del Guadarranque desde el borde sur de la hoja y hacia el Norte, se observa claramente el escalón o salto morfológico en las sierras cuarcíticas, y es precisamente a partir del escalón, donde se emplazan las rañas hacia el



15/28-IB-FN-9651.- Vista del sinclinal del Guadarranque desde el borde sur de la hoja y hacia el Norte, se observa claramente el escalón o salto morfológico en las sierras cuarcíticas, y es precisamente a partir del escalón, donde se emplazan las rañas hacia el sur.



15/28-IB-FN-9652.- Anticlinal de Valdelacasa-Sevilleja. En los materiales Precámbricos del núcleo, también se observa un cierto escalón ya muy degradado, en el bloque hundido se puede reconocer un nivel de arrasamiento fosilizado por las rañas, que también presentan un nivel de glacis topográficamente más alto.



15/28-IB-FN-9652.- Anticlinal de Valdelacasa-Sevilleja. En los materiales Precámbricos del núcleo, también se observa un cierto escalón ya muy degradado, en el bloque hundido se puede reconocer un nivel de arrasamiento fosilizado por las rañas, que también presentan un nivel de glacis topográficamente más alto.